



أ / أحمد قاروصة

مدرس مساعد بقسم الإحصاء

والرياضية والتأمين

كلية التجارة - جامعة الإسكندرية

دراسة مقارنة لبعض مقدرات إنحدار ریدج المتينة

Abstract

Besides multicollinearity, outliers also constitute a problem in the multiple linear regression analysis. We propose three new estimators of the robust ridge regression in the presence of multicollinearity and outliers, which called the Ridge Least Trimmed Squares, Ridge MM and Ridge Least Absolute Value estimator .For this purpose, a simulation study is conducted in order to see the difference

between the proposed methods and the existing methods in terms of their effectiveness measured by the mean squares error. The performances of the proposed methods are examined for different percentages of outliers and different degrees of multicollinearity. The results show that the proposed estimators are better than six of the existing methods in the presence of multicollinearity and outliers

ملخص البحث

يعتبر وجود الازدواج الخطى Multicollinearity والمشاهدات الشاذة Outliers من أهم المشاكل التي تواجه تحليل الانحدار الخطى، خاصة عند وقوع المشكلتين آنها. وإذا كان أسلوب انحدار "ریدج" يحسن من آثار مشكلة الازدواج الخطى، كما أن طرق الانحدار المتينة أقل تأثراً بالمشاهدات الشاذة إلا أن تلك الأساليب منفردة لا يمكنها أن تعالج المشكلتين معاً. وتقترح الدراسة الحالى ثلاثة مقدرات جديدة من مقدرات انحدار "ریدج" المتينة لعلاج مشكلة الازدواج الخطى والمشاهدات الشاذة آنها. والطرق المقترحة هي مزيج من مقدر جيد مقترب من مقدرات ریدج مع ثلاثة مقدرات متينة هي مقدر Least Trimmed(LTS) "أدنى مجموع مربعات مثبتة" و مقدر MM-Estimator (MM) و مقدر Squares Least Absolute Value "أدنى مجموع بواقي مطلقة" (LAV). وتم إجراء دراسة محاكاة للمقارنة بين الطرق المقترحة وست من الطرق المتاحة باستخدام معيار "متوسط مربعات الخطأ" "MSE". وتمت مقارنة أداء المقدرات عند توليفات مختلفة من درجات الازدواج الخطى ونسب المشاهدات الشاذة. وأظهرت النتائج تفوق المقدرات المقترحة على الطرق الأخرى في حالة وجود كل من الازدواج الخطى والمشاهدات الشاذة آنها.

^١ بحث مشتق من رسالة دكتوراه بعنوان: مقارنة بعض المقدرات المتينة المقتصدة لعلاج مشكلة الازدواج الخطى والمشاهدات الشاذة في نموذج الانحدار الخطى: دراسة محاكاة. إشراف: أ.د. امتحان محمد حسن، وأ.د. محمد علي محمد أحمد.

١- مقدمة

$$\hat{\beta} = (X^t X)^{-1} X^t Y \quad (2)$$

وبابين مقدر المربعات الصغرى يكون على
الشكل التالي:

$$Cov(\hat{\beta}) = \sigma^2 (X^t X)^{-1} \quad (3)$$

ويعتبر الازدواج الخطى Multicollinearity والمشاهدات الشاذة Outliers من أهم المشاكل التي تواجه تحليل الانحدار. فكثيراً ما يحدث عند توفيق نموذج الانحدار الخطى أن تكون المتغيرات المفسرة مرتبطة مع بعضها البعض. وتعرف هذه المشكلة "بالازدواج الخطى" (أو التعدد الخطى)، والتي لها آثار ضارة، مثل تضخم تباينات مقدرات معاملات المربعات الصغرى وأيضاً تضخم القيم المطلقة (Habshah and Ma-rina, 2007). ويفترض نموذج الانحدار الخطى التقليدي عدم وجود ازدواج خطى بين المتغيرات المفسرة، فإذا كان الازدواج الخطى تاماً، يكون من غير الممكن حساب معاملات الانحدار وتكون أخطائهم المعيارية لا نهاية. وإذا كان الازدواج الخطى أقل من التام، يكون محدد المصفوفة $(X^t X)$ قريباً من الصفر ويمكن حساب المعاملات إلا أنها تكون ذات أخطاء معيارية كبيرة، مما يعني عدم وجود دقة في تقدير المعاملات أى تكون التقديرات غير مستقرة وبالتالي تنشأ أخطاء في الاستدلال. وفي هذه الحالة تكون المشكلة الرئيسية مع مقدر المربعات الصغرى هي التقييد بضرورة أن يكون المقدر "غير متخيز" ولذلك تم اقتراح أساليب بديلة للتقييد تسمح بقليل من التحيز، مما يؤدي إلى زيادة في استقرار المصفوفة $(X^t X)$ ، وبالتالي تخفيض كبير في تباين المقدرات.

يمثل نموذج الانحدار الخطى، أحد وسائل دراسة العلاقة بين متغير استجابة Response (Y) وعدد من المتغيرات المفسرة Explanatory Variables (X). ويمكن كتابة النموذج على الشكل التالي:

$$Y = X\beta + \epsilon \quad (1)$$

حيث المصفوفة $X_{n \times p}$ كاملة الرتبة R- Full، مع p من المتغيرات المفسرة غير العشوائية $\beta_{p \times 1}$ Nonstochastic متوجه المعالم المطلوب تقاديرها، و $\epsilon_{n \times 1}$ متوجه الخطأ العشوائي بمتوسط يساوى الصفر، ومصفوفة تباين وتغيير Variance Covariance Matrix هي $\sigma^2 I_n$ حيث I_n مصفوفة الوحدة Identity، وقيمة σ^2 مجهرولة وترمز لتباين حد الخطأ العشوائي. وحين يتم "معايير Standardized" X و Y ، تكون المصفوفة $(X^t X)$ هي مصفوفة الارتباط بين المتغيرات المفسرة والتي تحتوي على معاملات الارتباط البسيطة بين كل زوج من المتغيرات، ويمثل المتوجه $(X^t Y)$ الارتباطات بين متغير الاستجابة وكل متغير مفسر. وعادة ما يعتمد على طريقة المربعات الصغرى العادية Ordinary Least Squares (OLS) في تقدير نموذج الانحدار الخطى، وذلك نظراً لتمتع OLS ببعض الخصائص المثلث في حالة كون المتغيرات المفسرة غير مرتبطة مع بعضها البعض، وكون حدود الخطأ العشوائي مستقلة ولها نفس التوزيع المعتدل Independent and Identically Distributed Normal المربعات الصغرى العادية $\hat{\beta}$ ، مقدر غير متخيز لمتجه المعالم β ، ويأخذ الشكل التالي:

Ronchetti (1987) إلى أن الهدف من استخدام طرق التقدير المتين هو اختيار النموذج الذي يوفق غالبية البيانات، مع الأخذ في الاعتبار أن الأخطاء قد لا تتبع التوزيع المعتدل. وجدير بالذكر أنه قد تم اقتراح العديد من أساليب تقدير الانحدار المتين، والتي أثبتت بعضها نجاحاً في التطبيقات العملية. على سبيل المثال: مقدر "أندى" مجموع مربعات Least Trimmed Squares (LTS) (Rousseeuw, 1984, 1985) ومقدر MM (Yohai, 1987)، ومقدر "أندى" مجموع بواقي Least Absolute Value (LAV) مطلقة".

إن وقوع المشكلتين آنها يمكن أن يحدث غالباً، مثلاً يمكن أن تقع كل مشكلة بصورة منفردة. وإذا كان أسلوب انحدار "ريدج" يحسن من آثار مشكلة الانحدار الخطي، كما أن طرق الانحدار المتينة أقل تأثيراً بالمشاهدات الشاذة إلا أن تلك الأساليب منفردة لا يمكنها أن تعالج المشكلتين معاً. ولعلاج المشكلتين آنها اقترحت العديد من مقدرات ريدج المتينة Robust Ridge Estimators والتي هي أقل تأثيراً بالمشاهدات الشاذة والازدواج الخطي، والتي تعتمد على دمج أحد مقدرات ريدج مع واحد من المقدرات المتينة. ومن هذه الدراسات ما يلي: دراسة Holland (1973) التي تعتبر أول من قدم مدخل لتقدير دالة الانحدار في ظل المشكلتين معاً من خلال استخدام انحدار "ريدج" المرجح مع اختيار متين للأوزان من خلال مقدر M . كما قدم Askin (1980) and Montgomery عائلة من المقدرات تجمع بين مقدر M المتين وكل من مقدر "ريدج" Principal Stein والمكونات الرئيسية Pfaffenberger and Components . وقد Dielman (1984, 1985)

وبالرغم من وجود العديد من الطرق لعلاج مشكلة الازدواج الخطي، إلا أن أكثر تلك الطرق شيئاً هو مقدر انحدار "ريدج" Ridge Regression Estimator والمذكور الذي يحسن من دقة معاملات الانحدار ويتوفر تقديرات مستقرة للمعاملات مع سهولة في الحساب ، ويعتبر بديل لطريقة OLS (Samkar and Alpu, 2010).

وال المشكلة الثانية التي يمكن أن تواجه نموذج الانحدار الخطي هي وجود المشاهدات الشاذة. ويمكن تعريف المشاهدات الشاذة على أنها "تلك المشاهدات التي تبدو غير متسقة مع بقية البيانات" (Barnett and Lewis, 1994). غالباً ما توجد المشاهدات الشاذة في البيانات لأسباب كثيرة، منها أخطاء في التسجيل أو أخطاء في القياس، أو أن يكون مصدر البيانات مجتمعات مختلفة. أيضاً فإن التوزيعات "تعليلة الذيل" Heavy tail عادة ما ينتج عنها مشاهدات شاذة، وهذا النوع من المشاهدات الشاذة قد يكون له تأثير ملحوظ على تقديرات معالم نموذج الانحدار Chatterjee and Hadi, 2006. وبغض النظر عن مصدر المشاهدات الشاذة، فإن وجود مشاهدة واحدة شاذة، يمكن أن تجعل من تقديرات المربعات الصغرى عديمة الفائدة، حيث تكون التقديرات متحيزة، مع تضخم في تباينات المقدرات معاملات الانحدار، أو تضخم تباين متوسط الاستجابة المقدر، وقد يمتد أثرها لتضخيم كليهما معاً. بالإضافة إلى التأثير السلبي على الاستدلال الإحصائي المرتبط بالنموذج.

وللتغلب على مشكلة المشاهدات الشاذة، يمكن استخدام طرق التقدير المتين- Robust Estimation، والتي تتميز بأنها أقل حساسية من المربعات الصغرى تجاه القيم الشاذة. وقد أشار

"معتلة الحالة" ill-conditioned إذا كانت تغيرات نسبية صغيرة في X يمكن أن تُشَّتِّج تغيرات نسبية كبيرة في X^{-1} . وبالتالي يمكن استخدام "رقم الحالة" Condition Number (CN) كمقياس لدرجة "اعتلال الحالة" ill-condition أو لاكتشاف الازدواج الخطى (Groß, 2003, p.57).

رقم الحالة الشكل التالي:

$$CN(X) = \sqrt{\frac{\lambda_{\max}}{\lambda_{\min}}} \quad (٤)$$

حيث λ_{\max} و λ_{\min} هما أكبر وأصغر قيمة مميزة للمصفوفة $(X^t X)$ على الترتيب. إذا كانت جميع القيم المميزة متساوية ($\lambda_{\max} = \lambda_{\min}$) فإن $CN(X) = 1$ ، رقم الحالة يساوى الواحد الصحيح (1)، مما يعني عدم وجود أى ازدواج خطى ويقال للمتغيرات المفسرة أنها متعامدة، ويطلق على المصفوفة X أنها "تمة الحالة" Perfect Conditioned. أما إذا كانت أصغر قيمة مميزة تساوى الصفر ($\lambda_{\min} = 0$ ، فإن رقم الحالة يصل إلى ما لا نهاية)، مما يعني وجود ازدواج خطى تام. وبالتالي فإن مدى "رقم الحالة" يكون: $CN(X) \in [1, \infty]$. وكلما زادت قيمة $CN(X)$ أدى ذلك إلى "سوء" الحالة. ليس هناك خط واضح المعالم يصلح بشكل عام لتمييز "الحالة السيئة" للمصفوفة. وقد اقترح Belsley et al. (1980) اعتبار أن "رقم الحالة" بين 5 و 10 مؤسرا على وجود ازدواج خطى ضعيف، بينما "رقم الحالة" أكبر من 30 يعد مؤسرا على وجود ازدواج خطى قوي. وأن رقم الحالة بين 10 و 30 يشير إلى إزدواج خطى من متوسط إلى قوي. وأشار Belsley (1991) إلى أن الارتباط بين المتغيرات المفسرة يمكن النظر إليه على أنه مؤسرا على الازدواج الخطى، ولكن العكس ليس بالضرورة

خصائص كل من مقدر LAV المتين ومقدر Riedg. واقتراح (Habshah and Marina 2007) "Riedg" من خلال مزج مقدر MM المتين مع انحدار Riedg. كذلك قدمت دراسة Samkar and Alpu (2010) طرقاً لانحدار Riedg المتينة بالاعتماد على مقدرات M و S و MM و GM. واقتصرت دراسة Zahari et al. (2012) الجمع بين مقدر انحدار "Riedg" المرجح، ومقدر MM المتين لتشكيل مقدر انحدار "Riedg" المرجح MM. واقتراح Pati et al. (2014) دمج مقدر "Riedg" مع مقدر LTS الانحدار المتين LTS لانتاج مقدر "Riedg المتين". واقتراح Pati et al. (2016) مقدرين من مقدرات Bisquare "Riedg المرجحة" باستخدام دالة الأوزان LTS وبالاعتماد على مقدري الانحدار المتين LTS. واقتراح Adegoke et al. (2016) دمج LAV مقدر "Riedg" مع بعض المقدرات المتينة وهي مقدرات: M و MM و S، وذلك لتشكيل مقدرات "Riedg المتينة".

٢ - مقدرات انحدار ريدج

إن سلوك معكوس المصفوفة $X^t X$ هو الذي يجعل من الازدواج الخطى مشكلة. ففي ظل وجود الازدواج الخطى يؤدي أي تغير نسبي صغير في المصفوفة $X^t X$ إلى تغير نسبي كبير في المصفوفة $(X^t X)^{-1}$. بالإضافة لذلك فإنه على الأقل هناك بعض العناصر القطبية الرئيسية للمصفوفة تكون كبيرة، مما يعني أن بعض عناصر مقدرات المربعات الصغرى سيكون لها تباين كبير. بناء على ما سبق، فمن الطبيعي التعرف على (أو تحديد) درجة الازدواج الخطى بالاعتماد على "حالة" المصفوفة Condition of a matrix. ويطلق على المصفوفة X غير المنفردة Nonsingular أنها

حيث $0 \leq k$ ، تسمى "معلمة ريدج" أو معلمة التحيز Biasing Parameter والتي يحددها الباحث. ولقد تم اقتراح العديد من الطرق لاختيار تلك المعلمة وتجدر الإشارة إلى أن عملية الاختيار الأمثل لمعلمة انحدار "ريدج" لا يمكن توفيرها من الناحية النظرية. فيما يلي نستعرض بعض الطرق المستخدمة في الدراسات السابقة لايجاد تقدير المعلمة ريدج (k)، بالإضافة إلى طريقة جديدة مقترحة لتقديرها.

وبافتراض أن $\Lambda = diag(\lambda_1, \lambda_2, \dots, \lambda_p)$ هي مصفوفة قطرية Diagonal عناصرها هي القيم المميزة للمصفوفة $X^t X$ ، و $\lambda_1 \geq \lambda_2 \geq \dots \geq \lambda_p \geq 0$. وبافتراض أن $D_{p \times p}$ مصفوفة متعدمة Normalized أعمدتها هي المتجهات المميزة Eigen Vectors المناظرة للقيم المميزة للمصفوفة $X^t X$. مما يجعل $D^t D = DD^t = I_p$ ، و $X^t X = D \Lambda D^t$ ، $X^* = XD$ ، $X^* = X^t X D^{-1} = X^t D^{-1} D = X^t$ ، يمكن التعبير عن نموذج الانحدار الخطى (١) في الشكل "الأساسى" Canonical التالى (Hoerl and Kennard, 1970 a) :

$$\mathbf{Y} = X^* \boldsymbol{\alpha} + \boldsymbol{\epsilon} \quad (6)$$

و مع $Cov(Y) = \sigma^2 I_n$ ، $\boldsymbol{\Lambda} = X^{*t} X^*$ ، $\boldsymbol{\alpha} = \hat{\boldsymbol{\alpha}}$ هو مقدر OLS لمتجه المعالم $\boldsymbol{\alpha}$ كما يلي:

$$\hat{\boldsymbol{\alpha}} = \boldsymbol{\Lambda}^{-1} X^{*t} \mathbf{Y} \quad (7)$$

ويصبح مقدر المربعات الصغرى لتبين حد الخطأ العشوائي هو:

صحيح، بمعنى أن الاندواج الخطى يمكن أن يقع بين متغيرين مفسرين دون وجود ارتباط خطى بينهما.

يمكن تصور إجراءات مختلفة لعلاج الاندواج الخطى، أحدها بناء نموذج جديد وأخذ متغيرات مفسرة جديدة في الاعتبار لا ينتج عنها نفس القدر من الاندواج الخطى. وفي نفس الوقت يرى البعض أن الاندواج الخطى (GroB, 2003, P. 308) هو مشكلة مع البيانات وليس مع النموذج وبالتالي ليس هناك داع لحذف متغير ما. ولكن يمكن استخدام طرق أخرى للعلاج تمثل في الحصول على مشاهدات إضافية (إن أمكن) أو دمج معلومات إضافية حول المعامل (إذا كانت متاحة) إلى النموذج. كذلك يمكن أيضاً تقدير توليفات خطية معينة من المعامل بدلاً من تقدير متجه المعامل بالكامل. ولكن جمع مزيد من البيانات غالباً ما يكون مكلفاً أو غير قابل للتطبيق العملى في كثير من الحالات. كما أن إسقاط متغير أو أكثر من النموذج قد يؤدي إلى "التحيز"، وبالتالي قد يكون الحل أسوأ مما كان عليه الوضع من قبل. وبشكل عام، يعتبر مقدر انحدار "ريدج" (Hoerl and Kennard, 1970 a, b) هو الأسلوب الأكثر شيوعاً واستخداماً في التعامل مع مشكلة الاندواج الخطى. وهو ينتمي إلى مدخل لعلاج مشكلة الاندواج الخطى يركز على إيجاد مقدرات لها أقل MSE مقارنة بمقدرات المربعات الصغرى. ويهدف مقدر ريدج إلى تقليل حجم وتباين تقديرات المربعات الصغرى، عن طريق إدخال كمية ضئيلة من التحيز. وأخذ المقدر الصيغة التالية:

$$\hat{\boldsymbol{\beta}}_R = (X^t X + K I)^{-1} X^t \mathbf{Y} \quad (8)$$

٤-٢ دراسة Khalaf and Iguernane (2016)

اقرحت الدراسةأخذ الجذر التربيعي لمقدر

Khalaf and Shukur (2005) كما يلي:

\hat{K}_{KSI}

$$= \sqrt{\frac{\lambda_{\max} s^2}{(n-p)s^2 + \lambda_{\max} \hat{\alpha}_{\max}^2}} \quad (13)$$

٥-٢ مقدر المقترن لأنحدار ريدج

تقترن الدراسة الحالية شكلاً جديداً لمعلمة انحدار

ريدج، هو الوسط الهندسي Geometric Mean

(GM) لأربعة من مقدرات ريدج السابقة وهم: مقدرا

\hat{K}_{MK1} ، Muniz and Kibria (2009)

\hat{K}_{MK2} في المعادلتين (١٠) و(١١) على الترتيب.

ومقدر \hat{K}_{ALH} ، Al-Hassan (2010) في

المعادلة (١٢)، ومقدر Khalaf and Iguernane

(2016)، في المعادلة (١٣). وبالتالي فإن

مقدار ريدج المقترن هو:

(١٤)

$$\hat{K}_{new} = GM\{\hat{K}_{MK1}, \hat{K}_{MK2}, \hat{K}_{ALH}, \hat{K}_{KSI}\}$$

$$= (\hat{K}_{MK1} \times \hat{K}_{MK2} \times \hat{K}_{ALH} \times \hat{K}_{KSI})^{\frac{1}{4}}$$

٣- مقدرات الانحدار المتين

Regression Estimators

يمكن تعريف المشاهدة الشاذة في اتجاه متغير

الاستجابة (Y) بأنها تلك المشاهدات التي تتحرف

عن علاقة الانحدار الموفقة بغالبية البيانات

(Rousseeuw and Leroy, 1987). كما أن

المشاهدة قد تكون شاذة في فضاء المتغيرات المفسرة

.Leverage Points (X) ويطلق عليها نقاط الرفع

$$s^2 = (Y - X^* \hat{\alpha})^t (Y - X^* \hat{\alpha}) / (n - p)$$

$$s^2 = (Y - X\hat{\beta})^t (Y - X\hat{\beta}) / (n - p)$$

(٨)

٦-١ دراسة Hoerl et al. (1975)

اقرحت الدراسة استخدام المقدر التالي:

$$\begin{aligned} \hat{K}_{HKB} &= \frac{ps^2}{\sum_{i=1}^p \hat{\alpha}_i^2} = \frac{ps^2}{\sum_{i=1}^p \hat{\beta}_i^2} \\ &= \frac{ps^2}{\hat{\beta}^t \hat{\beta}} \end{aligned} \quad (9)$$

٦-٢ دراسة Muniz and Kibria (2009)

طبقت الدراسة خواصيات الوسط الهندسي والجذر التربيعي، على المداخل التي اقترحها كل من: Khalaf and Shukur (2005) و Kibria (2003) لایجاد سبعة مقدرات جديدة، وختار منهم المقدرين التاليين:

$$\hat{K}_{MK1} = \left(\prod_{i=1}^p m_i \right)^{\frac{1}{p}} \quad (10)$$

$$\hat{K}_{MK2} = \text{median}(m_i) \quad (11)$$

$$\cdot m_i = \sqrt{\frac{s^2}{\hat{\alpha}_i^2}}$$

٣-٢ دراسة Al-Hassan (2010)

اقرحت الدراسة إدخال تعديلات

Alkhamisi Hocking et and Shukur (2007) على مقدر

الى ليصبح المقدر الجديد كما يلي:

(١٢)

$$\hat{K}_{ALH} = s^2 \frac{\lambda_{\max} \sum_{i=1}^p (\lambda_i \hat{\alpha}_i)^2}{\lambda_{\max} (\sum_{i=1}^p \lambda_i \hat{\alpha}_i^2)^2} + \frac{1}{\lambda_{\max}}$$

▪ التأثير المحدود

Bounded Influence

هي خاصية مميزة لطريقة متينة، تشير إلى قدرتها على التحكم في مقدار التأثير لنقطة شاذة في اتجاه X (نقطة رفع). وتعتبر طريقة المربيعات الصغرى الأكثر تأثراً بنقاط الرفع، ولكن بعض الطرق المتينة أيضاً لها تأثير غير محدود. ويتم دراسة ما إذا كان المقدر له تأثير محدود أم لا من دراسة "دالة التأثير" Influence Function (Hampel, 1974) والتي تصف تأثير مشاهدة إضافية x_i على المقدر.

▪ الكفاءة النسبية

Relative Efficiency

ويعبر عنها كنسبة مؤوية وتشير إلى الدرجة التي يؤدي بها المقدر مثل طريقة المربيعات الصغرى في حالة كون الأخطاء تتبع التوزيع المعتدل. وتحسب الكفاءة بقسمة متوسط مربيعات الخطأ لمقدار المربيعات الصغرى على نظيره للمقدر. ومن المرغوب أن تكون للمقدر كفاءة كبيرة (قد تقترب من ٩٠٪).

وفيما يلي بعض الدراسات السابقة في مقدرات الإنحدار المتينة التي تحقق بعض أو كل المعايير السابقة:

١-٣ مقدر أدنى مجموع بوافي مطلقة Least Absolute Value(LAV)

ويمكن تعريفه على الصورة:

$$\min_{\beta} \sum_{i=1}^n |r_i| \quad (15)$$

وقد يطلق عليه اسم L1-norm أو LAD أو (Rousseeuw and Leroy, 1987) LAR

وللمشاهدات الشاذة تأثير كبير على قيم معاملات نموذج الانحدار الموفق بطريقة OLS، بالإضافة إلى تأثيرها على الأخطاء المعيارية Standard Errors للمقدرات والاستدلال عن معالم النموذج. ويستخدم الانحدار المتين لعلاج مشكلة المشاهدات الشاذة حيث أن أقل تأثراً بتلك المشاهدات، وتعتمد طرق الانحدار المتين على مقدرات تخفض من أوزان المشاهدات الشاذة في توقيف نموذج الانحدار. وبالرغم من تعدد الطرق المتينة التي قدمت لتقدير نموذج الانحدار، إلا أنه لا توجد طريقة - أو مقدر أو مدخل - واحدة تُعدُّ الأفضل من جميع الجوانب. ويمكن تقييم ومقارنة مقدرات الانحدار المتين باستخدام عدد من المعايير المختلفة. وعلى الرغم من أن بعض من هذه بعض المعايير أكثر أهمية من البعض الآخر، فإن المقدر النموذجي يجب أن يحقق الخصائص الإيجابية لجميع المعايير. ومن أهم تلك المعايير:

▪ نقطة التحطّم Breakdown Point

يمكن النظر لنقطة التحطّم لمقدار ما على أنها أقل نسبة من المشاهدات الشاذة يكون لها تأثير كبير على المقدر محل الاهتمام (Hampel et al., 1986, p. 41). وقد تكون نقطة التحطّم منخفضة حتى تصل إلى الصفر (أو يشار إليها بأنها تساوي $\frac{1}{n}$) وهو ما يعني أنه بوجود مشاهدة واحدة شاذة لن يكون للمقدر قدرة على اعطاء معلومات مفيدة عن المعلمة، وعلى الجانب الآخر يمكن أن تصل نقطة التحطّم لحدها الأقصى وهو ٥٥٪، أي أن المقدر يمكن الاستفادة منه بالرغم من أن نصف المشاهدات شاذة.

للتفريق أن يتقادى المشاهدات الشاذة. وبشكل عام يمكن أن توضع قيمة h بين $n/2$ و n . وقد اقترح (Rousseuw and Leroy, 1987) أن تكون قيمتها $h = [n(1-\alpha) + 1]$ ، حيث α هي نسبة "الشذب" Trimmed (النسبة المحتملة للمشاهدات الشاذة في العينة)، وتختار هذه النسبة بحيث تحقق الكفاءة النسبية للمقدر. وبصفة عامة، إذا كانت $[\frac{n+p+1}{2}] = h$ ، فإن نقطتي تحطم المقدرين LTS و LMS تتساوليان. وعلى الرغم من أن المقدر له معدل تقارب مثل مقدرات M يساوي $n^{-\frac{1}{2}}$ ، وله نقطة تحطم عالية (50%) ، إلا أنه يعاب عليه أنه أيضاً يتطلب جهداً حسابياً ضخماً مما يجعله أحياناً غير قابل للتطبيق العملي، خاصة إذا كان حجم العينة كبيراً. كما يعاب عليه انخفاض كفائته النسبية والتي تساوي 8%. لذلك قدم Rousseeuw and Driessen (2006) خوارزم FAST-LTS ، الذي يتميز بالسرعة والقدرة على التعامل مع البيانات كبيرة الحجم.

٣-٣ مقدر MM-estimator

اقتصر (Yohai, 1987) على مقدرات MM للمرة الأولى، ومنذ ذلك الحين وهي تزداد انتشاراً واستخداماً، لكونها تجمع بين نقطة التحطط العالية، والكفاءة النسبية الجيدة التي تصل إلى 95%، وأيضاً لأنها مقاومة للمشاهدات الشاذة في اتجاه كل من متغير الاستجابة والمتغيرات المفسرة. ويرجع الاسم MM إلى حقيقة استخدام مقدر M في أكثر من مرحلة لحساب التقديرات النهائية. ويتم الحصول على مقدر MM في ثلاثة مراحل كما يلي:

المراحل الأولى: إيجاد المقدر المبدئي $\hat{\beta}_0$ لمتجه المعالم β ، والبواقي المبدئية المناظرة $r_i^{(0)}$. هذا المقدر المبدئي يجب أن يكون مقدر ذو

ويهدف المقدر إلى تدنية مجموع البواقي المطلقة $|\sum_{i=1}^n |y_i - x_i^\top \beta|$ ، وعادة يتم حله باستخدام البرمجة الخطية ، ويعتبر هذا المقدر مناسباً عندما يكون توزيع الأخطاء له "ذيل ثقيلة جداً" heavy tails، أو غير متماثل أو عندما تكون العينة كبيرة جداً (Birkes and Dodge, 1993). وعلى الرغم من أن هذا المقدر متين تجاه القيم الشاذة في اتجاه 2، إلا أنه في حالة وجود مشاهدة ذات قيمة رفع عالية High Leverage فإنها تجذب خط الانحدار تجاهها أو تجعله يمر بها. لذلك يمكن لنقطة شاذة واحدة أن تطيح تماماً بالمقدر، وبالتالي يكون للمقدر نقطة تحطم تساوي الصفر ($\text{أو } \frac{1}{n}$). بالإضافة لذلك فإن المقدر يتمتع بكفاءة نسبية 64% ، كما أن للمقدر تباين أكبر من تباين مقدر المربيعات الصغرى بمقدار 1.57 ضعف ($\text{أو } \frac{\pi}{2}$).

٢-٣ مقدر أدنى مجموع مربعات

مشذبة- Squares (LTS)

قدم Rousseeuw (1984,1985) مقدر LTS كعلاج للبطء الشديد في معدل تقارب مقدر LMS. وفي ظل هذا المقدر، يتم تدنية مجموع أول عدد h من مربعات البواقي المرتبة تصاعدياً، ويمكن صياغة دالة الهدف كما يلي:

$$\min \sum_{i=1}^h (r_i^2)_{i:n} \quad (16)$$

حيث $r_{(1)}^2, r_{(2)}^2, \dots, r_{(n)}^2$ هي مربعات البواقي المرتبة تصاعدياً، وبالتالي فإن هذا المدخل مشابه لطريقة المربيعات الصغرى فيما عدا أن المجموع لا يشمل أكبر مربعات البواقي، مما يسمح

٤ - مقدرات ريدج المتينة

على الرغم من أن أداء مقدر انحدار ريدج يكون جيدا في حالة وجود الازدواج الخطي، إلا أنه غير متين في ظل وجود المشاهدات الشاذة. وحيث أن مقدرات ريدج ومقدرات الانحدار المتينة غير قادرة على التعامل مع مشكلتي المشاهدات الشاذة والازدواج الخطي آنها، وبالتالي يكون من الأفضل مزج مقدر ريدج مع بعض المقدرات المتينة لانتاج مقدرات انحدار "ريدج المتينة". وهناك العديد من الدراسات السابقة التي قدمت بعض مقدرات انحدار ريدج المتينة. والتي سنتناول ثلاثة منها. كما نقدم ثلاثة مقدرات أخرى مقترحة تعتمد على دمج مقدر انحدار ريدج باستخدام معلمة ريدج المقترحة مع ثلاثة مقدرات متينة هي LTS و MM و LAV كما يلي:

٤-١ مقدر "RLTS0" "Ridge LTS"

اقتراح (Pati et al. 2014) دمج مقدر "ريدج" مع مقدر الانحدار المتين LTS لانتاج مقدر "ريدج Ridge LTS" يتشكل مقدر انحدار المتين "RLTS0" يتشكل مقدر انحدار (ويتم الاشارة إليه بالرمز RLTS0) من دمج مقدر ريدج مع المقدر المتين LTS.

ويأخذ المقدر الصيغة التالية:

$$\hat{\beta}_{RLTS0} = (\mathbf{X}^t \mathbf{X} + \mathbf{K}_{LTS}^* \mathbf{I})^{-1} \mathbf{X}^t \mathbf{Y} \quad (20)$$

وتأخذ \mathbf{K}_{LTS}^* الصيغة التالية

$$\mathbf{K}_{LTS}^* = \frac{ps_{LTS}^2}{\hat{\beta}_{LTS}^t \hat{\beta}_{LTS}} \quad (21)$$

حيث $\hat{\beta}_{LTS}$ هو مقدر LTS المتين لمتجه معالم الانحدار β ، و s_{LTS}^2

نقطة تحطم عالية وليس من الضروري أن يكون كفاءة. وعادة ما يستخدم مقدر S أو مقدر LMS كمقدر مبدئي.

المرحلة الثانية: يتم إيجاد مقدر M لتشتت الباقي $(\hat{\sigma}_{(0)})$ باستخدام التقدير المبدئي وذلك بحل معادلات M لمعملة التشتيت التالية:

$$\frac{1}{n} \sum_{i=1}^n \rho_0 \left(\frac{r_i^{(0)}}{\sigma} \right) = 0.5 \quad (17)$$

المرحلة الثالثة: وأخيرا، يتم الحصول على النهاية الصغرى المطلقة لما يلي:

$$L(\boldsymbol{\beta}) = \sum_{i=1}^n \rho_1 \left(\frac{r_i}{\hat{\sigma}_{(0)}} \right) \mathbf{x}_i = 0 \quad (18)$$

فإذا كان ψ_1 هي مشتقة ρ_1 ، فإن مقدر MM لمتجه معالم الانحدار يكون هو أى حل للمعادلة التالية:

$$\sum_{i=1}^n \psi_1(r_i / \hat{\sigma}_{(1)}) \mathbf{x}_i = 0 \quad (19)$$

والذي يحقق المتباينة التالية:

$$L(\hat{\beta}_{MM}) \leq L(\hat{\beta}_0)$$

وأوضح (Yohai 1987) أنه إذا تحققت المتباينة السابقة، فإن نقطة تحطم $\hat{\beta}_{MM}$ (مقدر MM) أكبر من أو تساوي فإن نقطة تحطم $\hat{\beta}_0$ (المقدر المبدئي). ومن الواضح أن مقدر $\hat{\beta}_{MM}$ يعتمد على دالتين مختلفتين في الباقي هما: ρ_0 و ρ_1 وذلك لتحديد نقطة التحطيم والكافأة. ويجب أن تكون $\rho_1(x) \leq \rho_0(x)$ ، حيث:

$$\rho_1(r) = \rho \left(\frac{r}{c_1} \right), \quad \rho_0(r) = \rho \left(\frac{r}{c_0} \right)$$

ولكى تكون $\rho_0 \leq \rho_1$ ، يجب أن تختار $c_0 \leq c_1$. وأوضح (Maronna et al. 2006) أن القيم الأكبر من c_1 تؤدي إلى زيادة الكفاءة.

1985، 1984) مقدراً جديداً (RLAV) يجمع بين خصائص كل من مقدر LAV المتين ومقدر ريدج. ويأخذ مقدر RLAV الصيغة التالية وكما سبق

يتكون مقدر انحدار Ridge LAV (ويتم الاشارة إليه بالرمز RLAV0) من مزج مقدر ريدج مع المقدر المتين LAV. ويأخذ المقدر الصيغة التالية:

$$\hat{\beta}_{RLAV0} = (\mathbf{X}^t \mathbf{X} + K_{LAV}^* \mathbf{I})^{-1} \mathbf{X}^t \mathbf{Y} \quad (26)$$

وتأخذ K_{LAV}^* الصيغة التالية

$$K_{LAV}^* = \frac{ps_{LAV}^2}{\hat{\beta}_{LAV}^t \hat{\beta}_{LAV}} \quad (27)$$

حيث $\hat{\beta}_{LAV}$ هو مقدر LAV المتين لمتجه

معامل الانحدار β ، و s_{LAV}^2

$$s_{LAV}^2 = \frac{(\mathbf{Y} - \mathbf{X} \hat{\beta}_{LAV})^t (\mathbf{Y} - \mathbf{X} \hat{\beta}_{LAV})}{n - p} \quad (28)$$

٤- مقدر "Ridge LTS" المقترن (RLTS1)

يتشكل مقدر انحدار Ridge LTS المقترن (ويتم الاشارة إليه بالرمز RLTS1) من دمج مقدر ريدج باستخدام معلمة ريدج الجديدة k_{new} مع المقدر المتين LTS. ويأخذ المقدر الصيغة التالية:

$$\hat{\beta}_{RLTS1} = (\mathbf{X}^t \mathbf{X} + K_{new(LTS)}^* \mathbf{I})^{-1} \mathbf{X}^t \mathbf{Y} \quad (29)$$

وتأخذ K_{LTS1}^* الصيغة التالية

$$K_{new(LTS)}^* = (\hat{K}_{MK1}^* \times \hat{K}_{MK2}^* \times \hat{K}_{ALH}^* \times \hat{K}_{KSI}^*)^{\frac{1}{4}} \quad (30)$$

وتحتختلف $K_{new(LTS)}^*$ عن k_{new} في استخدام الأولى لطريقة LTS المتينة في ايجاد المقدرات $\hat{\beta}$

$$s_{LTS}^2 = \frac{(\mathbf{Y} - \mathbf{X} \hat{\beta}_{LTS})^t (\mathbf{Y} - \mathbf{X} \hat{\beta}_{LTS})}{n - p} \quad (22)$$

ومن الجدير بالذكر أن K_{LTS}^* هي نفسها k_{HKB} في المعادلة (٩) مع اختلافين هما: أولاً استخدام مقدر LTS في تقييم متوجه المعلم β بدلاً من طريقة OLS، ثانياً يتم تعديل s^2 في المعادلة (٨) باستخدام تقديرات LTS بدلاً من طريقة OLS. وتهدف هذه التغييرات إلى تخفيض تأثير المشاهدات الشاذة على القيمة المختارة لمعلمة ريدج.

٤-٢ مقدر "Ridge MM" (RMM0)

اقترح Habshah and Marina (2007) مقدر "Ridge MM" من خلال مزج مقدر MM المتين مع انحدار ريدج. ويأخذ هذا المقدر الشكل التالي وكما سبق نحصل على مقدر Ridge MM (ويتم الاشارة إليه بالرمز RMM0) من دمج مقدر ريدج مع المقدر المتين MM. ويأخذ المقدر الصيغة التالية:

$$\hat{\beta}_{MM0} = (\mathbf{X}^t \mathbf{X} + K_{MM}^* \mathbf{I})^{-1} \mathbf{X}^t \mathbf{Y} \quad (23)$$

وتأخذ K_{MM}^* الصيغة التالية

$$K_{MM}^* = \frac{ps_{MM}^2}{\hat{\beta}_{MM}^t \hat{\beta}_{MM}} \quad (24)$$

حيث $\hat{\beta}_{MM}$ هو مقدر MM المتين لمتجه معامل الانحدار β ، و s_{MM}^2 هو:

$$s_{MM}^2 = \frac{(\mathbf{Y} - \mathbf{X} \hat{\beta}_{MM})^t (\mathbf{Y} - \mathbf{X} \hat{\beta}_{MM})}{n - p} \quad (25)$$

٤-٣ مقدر "Ridge LAV" (RLAV0)

Pfaffenberger and Dielman قدم

$$\begin{aligned} K_{\text{new(LAV)}}^* \\ = (\hat{K}_{MK1}^* \times \hat{K}_{MK2}^* \times \hat{K}_{ALH}^*)^{(34)} \\ \times \hat{K}_{KSI}^{\frac{1}{4}} \end{aligned}$$

وتختلف $k_{\text{new(LAV)}}$ عن $K_{\text{new(LAV)}}^*$ في استخدام الأولى لطريقة LAV المتينة في ايجاد المقدرات $\hat{\beta}$ (ومن ثم $\hat{\alpha}$) و s^2 ، بدلا من طريقة OLS، وبالتالي المقدرات المتينة لمعلمة ريدج: \hat{K}_{MK1}^* و \hat{K}_{MK2}^* و \hat{K}_{ALH}^* و \hat{K}_{KSI}^* ، في المعادلات (١٠ و ١١ و ١٢ و ١٣).

٥- دراسة المحاكاة

تهدف دراسة المحاكاة إلى المقارنة بين مقدرات ريدج المتينة المقترحة (٣ مقدرات) وبعض المقدرات البديلة (٦ مقدرات). وقد تم تصميم دراسة المحاكاة بحيث تسمح بوجود كلا من الازدواج الخطى والمشاهدات الشاذة آنها. وبالتالي تشمل دراسة المحاكاة على تسعه مقدرات هم:

- (١) مقدر المربعات الصغرى العادية (OLS) في معادلة (٢)
- (٢) مقدر الانحدار المتين (MM)، المعرف في المعادلة (١٩).
- (٣) مقدر انحدار ريدج (Ridge) في معادلة (٥) وباستخدام k في معادلة (٩).
- (٤) مقدر انحدار ريدج المتين (RLTS0) في معادلة (٢٠)، مع k^* من معادلة (٢١).

- (٥) مقدر انحدار ريدج المتين (RMM0) في معادلة (٢٣)، مع k^* من معادلة (٢٤).
- (٦) مقدر انحدار ريدج المتين (RLAV0) في معادلة (٢٦)، مع k^* من معادلة (٢٧).
- (٧) مقدر انحدار ريدج المتين المقترح (RLTS1) في معادلة (٢٩)، مع k_{new}^* من معادلة (٣٠).

(ومن ثم $\hat{\alpha}$) و s^2 ، بدلا من طريقة OLS، وبالتالي المقدرات المتينة لمعلمة ريدج: \hat{K}_{MK1}^* و \hat{K}_{MK2}^* و \hat{K}_{ALH}^* و \hat{K}_{KSI}^* ، في المعادلات (١٠ و ١١ و ١٢ و ١٣).

٤-٥ مقدر "Ridge MM" المقترح (RMM1)

يشكل مقدر انحدار MM المقترن (RMM1) من دمج مقدر ريدج باستخدام معلمة ريدج الجديدة مع المقدر المتين MM. ويأخذ المقدر الصيغة التالية:

$$\hat{\beta}_{RMM1} = (X^t X + K_{\text{new(MM)}}^* I)^{-1} X^t Y \quad (31)$$

وتأخذ K_{MM1}^* الصيغة التالية

$$\begin{aligned} K_{\text{new(MM)}}^* \\ = (\hat{K}_{MK1}^* \times \hat{K}_{MK2}^* \times \hat{K}_{ALH}^*)^{(32)} \\ \times \hat{K}_{KSI}^{\frac{1}{4}} \end{aligned}$$

وتختلف $k_{\text{new(MM)}}$ عن $K_{\text{new(MM)}}^*$ في استخدام الأولى لطريقة MM المتينة في ايجاد المقدرات $\hat{\beta}$ (ومن ثم $\hat{\alpha}$) و s^2 ، بدلا من طريقة OLS، وبالتالي المقدرات المتينة لمعلمة ريدج: \hat{K}_{MK1}^* و \hat{K}_{MK2}^* و \hat{K}_{ALH}^* و \hat{K}_{KSI}^* ، في المعادلات (١٠ و ١١ و ١٢ و ١٣).

٤-٦ مقدر "Ridge LAV" المقترن (RLAV1)

يشكل مقدر انحدار Ridge LAV المقترن (RLAV1) من دمج مقدر ريدج باستخدام معلمة ريدج الجديدة مع المقدر المتين LAV. ويأخذ المقدر الصيغة التالية:

$$\begin{aligned} \hat{\beta}_{RLAV1} \\ = (X^t X + K_{\text{new(LAV)}}^* I)^{-1} X^t Y \quad (32) \end{aligned}$$

وتأخذ K_{LAV1}^* الصيغة التالية

توزيع معتدل معياري، ونسبة صغيرة تأتي من من توزيع معتدل وسطه الصفر وتبينه 100. وهكذا فالأخطراء العشوائية لها احتمال $(1 - \alpha)$ أن تأتي من توزيع معتدل معياري، واحتمال α أن تأتي من توزيع معتدل بمتوسط صفر وتبين 100.

وقد تم تنفيذ المحاكاة باستخدام أربعة عوامل، من المتوقع أن يكون لها تأثير على متوسط مربعات الخطأ. وهذه العوامل والمستويات هي:

- ١- معامل الارتباط (ρ) بين كل زوج من المتغيرات المفسرة، مع أربعة مستويات هم: 0.10 و 0.80 و 0.90 و 0.99. وهي تعكس تدرج تصاعدي لمشكلة الإزدواج الخطى بداية من عدم وجود المشكلة عند ارتباط 0.10 وصولاً إلى إزدواج خطى شديد عند ارتباط 0.99.
- ٢- نسبة المشاهدات الشاذة مع أربعة مستويات هي: 0% و 5% و 10% و 15%.
- ٣- عدد المتغيرات المفسرة (p) مع مستويين هما 4 و 8.
- ٤- حجم العينة (n) مع مستويين هما 20 و 40.

وبالتالي يكون إجمالي توليفات دراسة المحاكاة 64 توليفة ($2 \times 4 \times 4$).

ولكل توليفة من توليفات المحاكاة تم توليد المصروفه X^tX ومن ثم معايرتها بحيث تكون X^tX في شكل مصفوفة ارتباط. ثم يتم توليد متوجه عشوائي من توزيع معتدل Normal $N(0, \sigma^2)$ ليمثل حد الخطأ العشوائي.

ويتم إيجاد المتوجه Y من نموذج الانحدار الخطى في المعادلة (١). عند كل توليفة يتم توليد حد الخطأ العشوائي ومن ثم المتوجه Y 10,000 مرة (معاودة Replications). ويتم حساب متوسط مربعات الخطأ للمقدر $R^{\hat{\beta}}$ كما يلي:

(٨) مقدر انحدار ريدج المتين المقترن (RMM1) في معادلة (٣١)، مع k_{new}^* من معادلة (٣٢).

(٩) مقدر انحدار ريدج المتين المقترن (RLAV1) في معادلة (٣٣)، مع k_{new}^* من معادلة (٣٤).

بافتراض نموذج الانحدار الخطى في (١)، يتم أولاً توليد المصفوفة X وفقاً لطريقة McDonald and Galarneau (1975)، بحيث تكون عناصر

المصفوفة $\{\omega_{ij}\}$ على الشكل التالي:

$$\omega_{ij} = \begin{cases} 1 & i = j \\ \rho & i \neq j \end{cases} \quad (35)$$

ويتم توليد متوجه المصفوفة X كاميلى:

$$X_j = (1 - \rho)^{1/2} Z_j + \rho^{1/2} Z_{p+1} \quad j = 1, 2, \dots, p \quad (36)$$

حيث Z_1, Z_2, \dots, Z_{p+1} متوجهات من المتغيرات المعتدلة المعيارية المستقلة، و (ρ) هو معامل الارتباط البسيط بين كل زوج من المتغيرات المفسرة. ويتم اختيار متوجه معامل الانحدار (β) بحيث يكون هو المتوجه المميز المناظر لأكبر قيمة مميزة للمصفوفة X^tX بشرط أن $\beta^t \beta = 1$ ، أي طوله يساوى الوحدة. حيث يكون MSE يكون عند حد الأدنى وذلك كما وأشار Newhouse and Oman (1971) . كما يتم توليد المشاهدات الشاذة (أو الشاذة في y) من خلال حد الخطأ العشوائى ϵ . فإذا كانت نسبة المشاهدات الشاذة هي α (حيث $\alpha = 0\%, 5\%, 10\%, 15\%$)، تقوم الدراسة بتوليد حدود الخطأ العشوائي من توزيع "منتقل ملوث" Contaminated Normal له دالة الكثافة التالية:

$$f(\epsilon) = (1 - \alpha)N(0, 1) + \alpha N(0, 100) \quad (37)$$

حيث ($\alpha - 1$) تمثل نسبة حدود الخطأ غير الشاذة. وهذا يعني أن أغلبية حدود الخطأ تأتي من

لتلك المقدرات، ويزداد هذا الارتفاع بشكل كبير جدا عند درجة ارتباط 0.99 (أى عند ازدواج خطى شديد). كما نلاحظ عدم التأثير السلبي لزيادة درجة الارتباط على المقدرات المقترحة، بل بالعكس قد يصاحب ذلك انخفاض، ولو طفيف، في قيم MSE وبشكل عام نجد أن المقدرات المقترحة تتقوّق دائمًا على باقي المقدرات في حالة وجود ازدواج خطى (عند درجة ارتباط 0.80 أو 0.90 أو 0.99) عند جميع التوليفات المعاكِرة، وأن هذا التقوّق يكون بارزًا عند درجة ارتباط 0.99. وفي حالة عدم وجود ازدواج خطى (عند $\rho = 0.10$) نجد أن المقدرات المقترحة ليست دائمًا هي الأفضل، ففي بعض التوليفات يكون مقدر MM المتبين هو الأفضل. وعند عدم الازدواج الخطى وكذلك المشاهدات الشاذة ثلاثة مقدرات هي: OLS يليها مقدر MM ثم مقدر $RLTS0$ (وهي حالة وحيدة استثنائية، حيث لا وجود للمقدرات المقترحة ضمن أفضل ثلاثة مقدرات).

$$MSE(\hat{\beta}_R) = \frac{1}{10000} \sum_{i=1}^{10000} [(\hat{\beta}_R - \beta)^t (\hat{\beta}_R - \beta)] \quad (38)$$

▪ نتائج دراسة المحاكاة

تم وضع نتائج المحاكاة في الجدول (١)، والذي يعطي قيم MSE للمقدرات عند توليفات المحاكاة والتي يبلغ عددها 64 توليفة، عند القيم المختلفة من n و p و ρ . كذلك تم اعطاء رتب Ranks للمقدرات تصاعديا داخل كل توليفة وفقاً لقيم MSE (في جدول ٢)، بحيث يأخذ المقدر ذو أقل الرتبة 1 وهكذا حتى تكون رتبة المقدر الذي له أكبر MSE هي 9. أيضاً تستخدم الدراسة الأعمدة البيانية لبعض التوليفات حيث تكون بعض عوامل المحاكاة ثابتة في حين تتغير باقي العوامل، وذلك لاستخلاص النتائج عند كل عامل من عوامل المحاكاة. وأيضاً تستخدم الدراسة الصناديق البيانية لقيم MSE للمقدرات عند جميع التوليفات، ولرتب المقدرات، وذلك بغرض استخلاص نتائج عامة من دراسة المحاكاة.

٥-٥ أداء المقدرات وفقاً لدرجة الارتباط

بين المتغيرات المفسرة ρ :

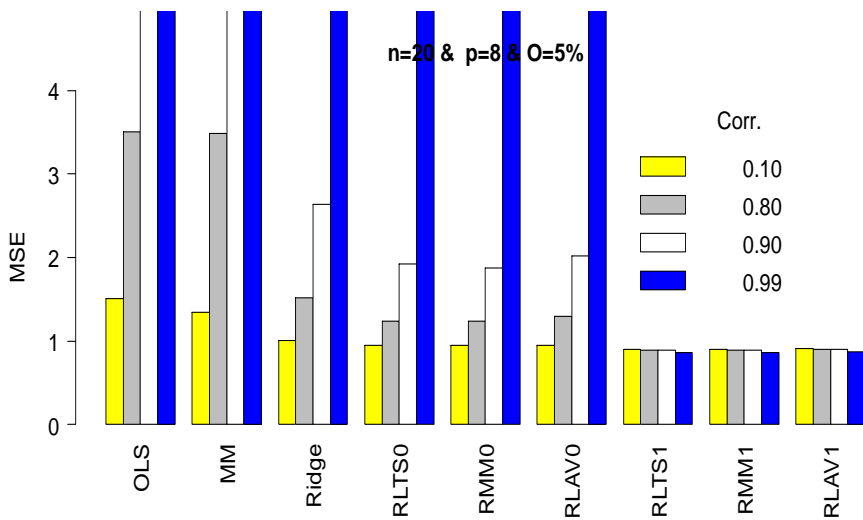
من جدول (١) وبالاستعانة بالشكلين (١) و (٢) يمكن أن نستنتج أن زيادة درجة الارتباط بين المتغيرات المفسرة له تأثير سلبي على المقدرات السابقة (غير المقترحة) يتمثل في ارتفاع قيم MSE

جدول (١) : قيم MSE للمقدرات عن جميع توليفات المحاكاة

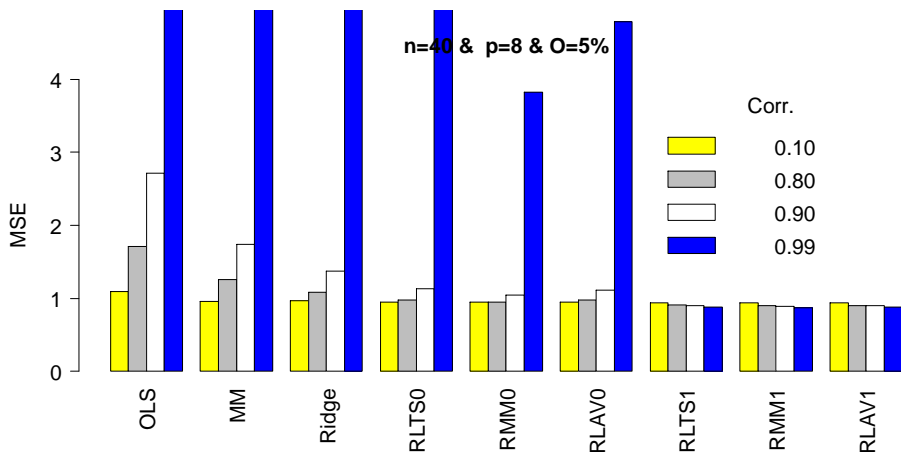
ρ	σ	n	p	OLS	MM	Ridge	RLTS0	RMM0	RLAV0	RLTS1	RMM1	RLAV1
0.10	0	20	4	0.8131	0.8396	0.8151	0.8084	0.8140	0.8117	0.8057	0.8083	0.8070
0.10	0	20	8	1.1179	1.3832	0.8783	0.8708	0.8753	0.8728	0.8369	0.8382	0.8376
0.10	0	40	4	0.8139	0.8222	0.8471	0.8390	0.8463	0.8412	0.8398	0.8428	0.8410
0.10	0	40	8	0.9749	1.0120	0.8717	0.8718	0.8713	0.8708	0.8565	0.8570	0.8564
0.10	0.05	20	4	0.9793	0.8913	0.8916	0.8784	0.8809	0.8773	0.8671	0.8671	0.8669
0.10	0.05	20	8	1.5027	1.3429	1.0079	0.9469	0.9479	0.9496	0.9017	0.9006	0.9044
0.10	0.05	40	4	0.9349	0.8790	0.9267	0.9284	0.9332	0.9274	0.9201	0.9218	0.9200
0.10	0.05	40	8	1.0969	0.9606	0.9643	0.9460	0.9466	0.9455	0.9406	0.9391	0.9407
0.10	0.10	20	4	1.0169	0.8914	0.9456	0.9310	0.9330	0.9307	0.9251	0.9251	0.9260
0.10	0.10	20	8	1.4262	1.1789	1.0381	0.9714	0.9706	0.9745	0.9529	0.9509	0.9573
0.10	0.10	40	4	0.9842	0.9050	0.9679	0.9661	0.9681	0.9644	0.9591	0.9586	0.9583
0.10	0.10	40	8	1.1548	0.9541	0.9945	0.9655	0.9660	0.9646	0.9624	0.9599	0.9632
0.10	0.15	20	4	1.0710	0.9269	0.9776	0.9569	0.9595	0.9584	0.9495	0.9490	0.9511
0.10	0.15	20	8	1.5462	1.2892	1.0902	1.0024	1.0000	1.0064	0.9790	0.9761	0.9835
0.10	0.15	40	4	1.0247	0.9278	0.9805	0.9761	0.9773	0.9735	0.9661	0.9661	0.9656
0.10	0.15	40	8	1.1657	0.9588	1.0117	0.9807	0.9807	0.9794	0.9803	0.9789	0.9822
0.80	0	20	4	1.4401	1.5337	0.9222	0.9416	0.9245	0.9346	0.7430	0.7431	0.7431
0.80	0	20	8	2.0618	2.6239	1.0711	1.0520	1.0634	1.0625	0.8043	0.8062	0.8058
0.80	0	40	4	1.1354	1.1701	0.8734	0.8894	0.8750	0.8833	0.7918	0.7919	0.7914
0.80	0	40	8	1.5341	1.6465	0.9560	1.0086	0.9633	0.9840	0.8352	0.8256	0.8301
0.80	0.05	20	4	1.3326	1.1201	0.9588	0.9025	0.8984	0.9054	0.8350	0.8349	0.8362
0.80	0.05	20	8	3.5059	3.4864	1.5133	1.2405	1.2379	1.2935	0.8919	0.8885	0.9026
0.80	0.05	40	4	1.1096	0.9588	0.9419	0.9110	0.9097	0.9111	0.8894	0.8895	0.8894
0.80	0.05	40	8	1.7087	1.2560	1.0857	0.9786	0.9492	0.9727	0.9043	0.8961	0.9034
0.80	0.10	20	4	1.5166	1.1420	1.0721	0.9576	0.9480	0.9670	0.8911	0.8900	0.8941
0.80	0.10	20	8	3.6091	2.8962	1.5557	1.1996	1.1731	1.2280	0.9354	0.9284	0.9431
0.80	0.10	40	4	1.1916	0.9598	0.9900	0.9420	0.9420	0.9424	0.9271	0.9273	0.9270
0.80	0.10	40	8	2.0267	1.1910	1.2037	0.9838	0.9583	0.9856	0.9333	0.9268	0.9351
0.80	0.15	20	4	1.9957	1.2527	1.2111	0.9908	0.9885	1.0138	0.9149	0.9152	0.9185
0.80	0.15	20	8	6.2917	3.9141	2.1876	1.4482	1.4215	1.5090	0.9625	0.9592	0.9717
0.80	0.15	40	4	1.4955	1.0140	1.0893	0.9590	0.9558	0.9643	0.9417	0.9416	0.9421
0.80	0.15	40	8	1.8058	1.0905	1.1537	0.9691	0.9598	0.9762	0.9523	0.9488	0.9567

تابع جدول (١): قيم MSE للمقدرات عن جميع توليفات المحاكاة

ρ	O	n	p	OLS	MM	Ridge	RLTS0	RMM0	RLAV0	RLTS1	RMM1	RLAV1
0.90	0	20	4	2.3173	2.5059	1.1781	1.2231	1.1836	1.2059	0.7367	0.7363	0.7363
0.90	0	20	8	3.5649	5.2811	1.4676	1.4603	1.4647	1.4459	0.8170	0.8176	0.8163
0.90	0	40	4	1.5806	1.6597	0.9971	1.0448	1.0029	1.0288	0.7869	0.7856	0.7860
0.90	0	40	8	2.5868	2.8703	1.2361	1.3790	1.2589	1.3209	0.8390	0.8218	0.8299
0.90	0.05	20	4	2.9438	2.1303	1.4212	1.1846	1.1471	1.1979	0.8173	0.8162	0.8176
0.90	0.05	20	8	7.6452	6.7724	2.6388	1.9234	1.8752	2.0233	0.8911	0.8859	0.8993
0.90	0.05	40	4	1.9043	1.3318	1.1654	1.0041	0.9723	1.0053	0.8741	0.8736	0.8742
0.90	0.05	40	8	2.7137	1.7354	1.3698	1.1288	1.0440	1.1072	0.9014	0.8898	0.8989
0.90	0.10	20	4	2.2739	1.4348	1.2382	1.0125	0.9999	1.0320	0.8753	0.8750	0.8768
0.90	0.10	20	8	6.8453	4.7746	2.5264	1.6339	1.5858	1.7448	0.9350	0.9287	0.9466
0.90	0.10	40	4	1.8046	1.1174	1.1591	0.9665	0.9563	0.9763	0.9195	0.9194	0.9198
0.90	0.10	40	8	4.1364	1.7489	1.7910	1.1265	1.0513	1.1483	0.9265	0.9196	0.9292
0.90	0.15	20	4	2.4647	1.4503	1.3422	1.0421	1.0265	1.0628	0.9134	0.9127	0.9150
0.90	0.15	20	8	6.2829	5.2804	2.4266	1.6390	1.5885	1.7486	0.9813	0.9752	0.9960
0.90	0.15	40	4	1.8776	1.0835	1.2002	0.9686	0.9629	0.9815	0.9396	0.9395	0.9401
0.90	0.15	40	8	2.1617	1.1658	1.2567	0.9848	0.9689	0.9951	0.9519	0.9478	0.9564
0.99	0	20	4	31.9975	36.4880	10.3844	11.7096	10.5583	11.0726	0.6895	0.6880	0.6882
0.99	0	20	8	76.1518	100.4933	22.7745	22.3102	22.6176	22.5651	0.7740	0.7742	0.7740
0.99	0	40	4	10.8216	11.7394	3.7121	4.2601	3.7845	4.1103	0.7617	0.7600	0.7611
0.99	0	40	8	18.1969	20.7242	5.5040	6.8381	5.7033	6.2788	0.8223	0.8033	0.8125
0.99	0.05	20	4	27.7675	18.3207	8.9515	6.0748	5.4423	6.1074	0.7879	0.7871	0.7877
0.99	0.05	20	8	99.1518	81.5700	27.0804	16.1172	15.7365	17.5419	0.8598	0.8557	0.8658
0.99	0.05	40	4	6.4479	3.3951	2.4899	1.6007	1.4443	1.6304	0.8635	0.8633	0.8637
0.99	0.05	40	8	29.5995	14.9201	8.5971	5.0335	3.8246	4.7861	0.8821	0.8701	0.8783
0.99	0.10	20	4	46.5820	22.4820	15.3776	7.4852	6.4750	8.1684	0.8451	0.8447	0.8463
0.99	0.10	20	8	43.1532	27.8946	12.5218	6.3934	6.0303	6.9070	0.9208	0.9152	0.9297
0.99	0.10	40	4	9.6421	3.0543	3.4026	1.4433	1.3083	1.5487	0.9069	0.9070	0.9065
0.99	0.10	40	8	19.4912	5.9537	5.9555	2.2297	1.7881	2.3087	0.9162	0.9095	0.9168
0.99	0.15	20	4	22.0120	8.7210	7.1229	2.9219	2.7006	3.2994	0.8910	0.8907	0.8923
0.99	0.15	20	8	100.4827	64.7210	29.8878	13.7794	12.9802	15.7823	0.9427	0.9382	0.9566
0.99	0.15	40	4	13.9585	3.2976	4.7770	1.4681	1.3235	1.6832	0.9324	0.9327	0.9326
0.99	0.15	40	8	35.5075	7.8809	10.3974	2.3971	1.9656	2.7794	0.9304	0.9277	0.9331



شكل (١) : أداء المقدرات وفقاً لدرجة الارتباط بين المتغيرات المفسرة عند
 $(n = 20, p = 8, O = 0.05)$

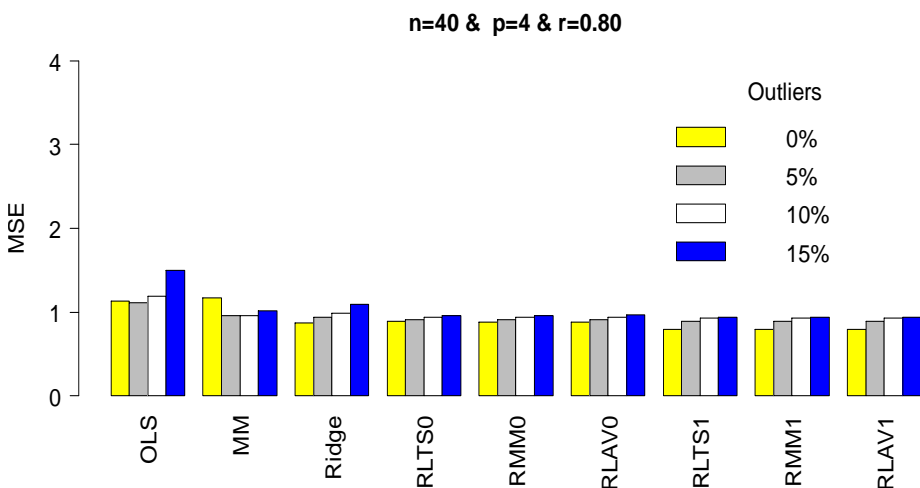


شكل (٢) : أداء المقدرات وفقاً لدرجة الارتباط بين المتغيرات المفسرة عند
 $(n = 40, p = 8, O = 0.05)$

الخطي والمشاهدات الشاذة يكون مقدر OLS هو الأفضل. أما عند درجة ارتباط 0.90 و 0.99 نجد أن زيادة نسبة المشاهدات الشاذة لا تؤثر بشكل سلبي على مقدرات ريدج المتينة السابقة، بينما تتأثر المقدرات المقترحة قليلاً بشكل سلبي نتيجة زيادة نسبة المشاهدات الشاذة. ورغم ذلك فإن المقدرات المقترحة تظل هي الأفضل عند النسب المختلفة من المشاهدات الشاذة لأن مستوى قيم MSE للمقدرات المقترحة يكون أدنى من نظيره للمقدرات السابقة.

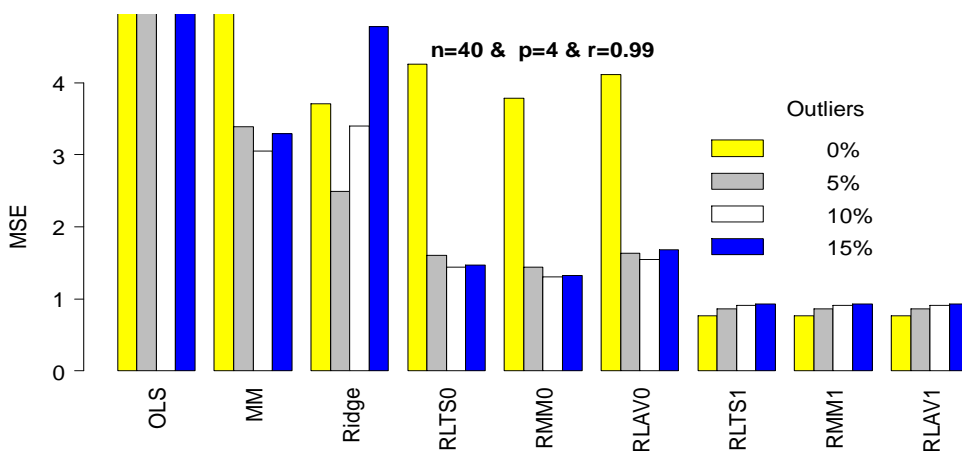
٥- أداء المقدرات وفقاً لنسبة المشاهدات الشاذة O

يتضح من الجدول (١) ومن الشكلين (٣) و (٤) : في حالة عدم وجود ازدواج خطي، أو وجود ازدواج خطي ضعيف نجد أن زيادة نسبة المشاهدات الشاذة تؤدي إلى ارتفاع في قيم MSE لجميع المقدرات وتكون المقدرات المقترحة ليست أفضل المقدرات المقارنة، حيث يكون مقدر MM هو الأفضل. وفي حالة عدم وجود كل من الازدواج



شكل (٣) : أداء المقدرات وفقاً لنسبة المشاهدات الشاذة O

$$(n = 40, p = 4, \rho = 0.80)$$



شكل (٤): أداء المقدرات وفقاً لنسبة المشاهدات الشاذة O

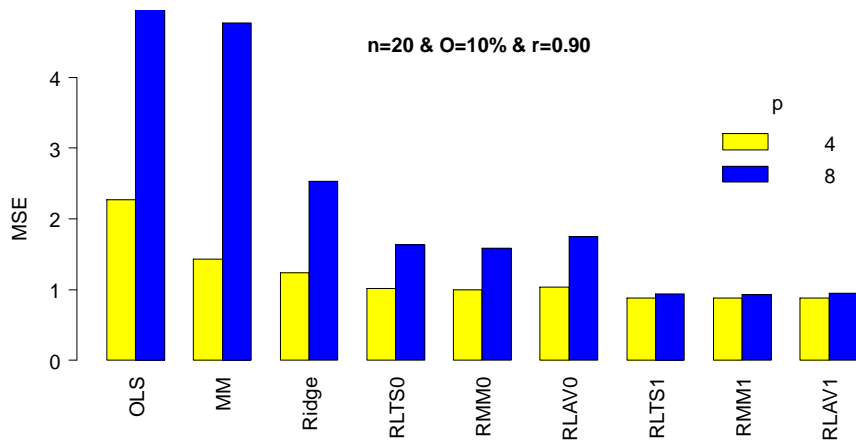
$$(n = 40, p = 4, \rho = 0.99)$$

٥- ٣ أداء المقدرات وفقاً لعدد المتغيرات

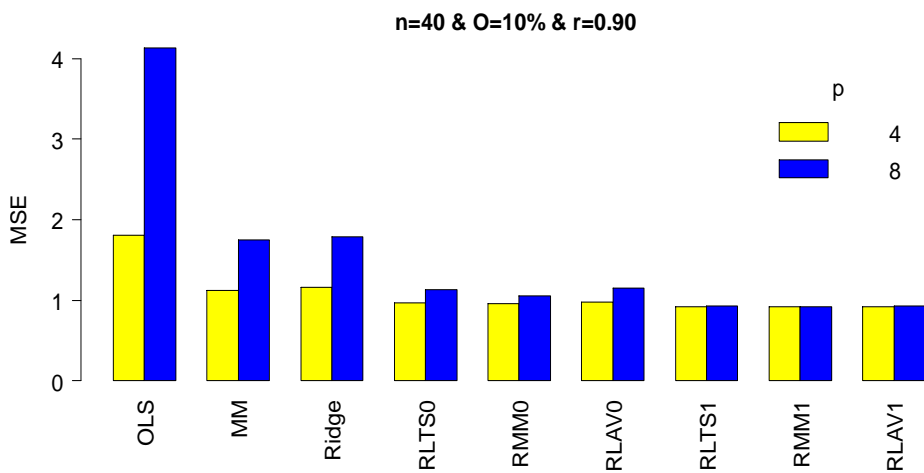
المفسرة p

باقي المقدرات يكون أكثر وضوها عند عدد متغيرات 8. بشكل عام المقدرات المقترحة أفضل من باقي المقدرات عند معظم التوليفات من عدد متغيرات 4 أو 8، ويكون الاستثناء عند بعض التوليفات من درجة ارتباط 0.10 (عدم وجود ازدواج خطى) مع نسب مشاهدات شاذة 10% و 15%， حيث يكون مقدر MM هو الأفضل. ويكون أسوأ أداء للمقدرات المقترحة عند التوليفة من 4 متغيرات وعدم وجود كل من الازدواج والمشاهدات الشاذة مع حجم عينة 40.

من جدول (١) ومن الشكلين (٩) و (١٠) نجد أنه: زيادة عدد المتغيرات المفسرة يؤثر بشكل سلبي على أداء جميع المقدرات وهو ما يتمثل في ارتفاع قيم MSE لتلك المقدرات. وأن هذا الارتفاع في MSE يكون بدرجة أقل عند العينات الكبيرة مما هو في العينات الصغيرة. كما أن المقدرات المقترحة تکاد لا تتأثر سلباً بزيادة عدد المتغيرات عند حجم العينة 40. كذلك نجد أن تفوق المقدرات المقترحة على



شكل (٥) : أداء المقدرات وفقاً لعدد المتغيرات p
 $(n = 20, O = 10\%, \rho = 0.90)$



شكل (٦) : أداء المقدرات وفقاً لعدد المتغيرات p
 $(n = 40, O = 10\%, \rho = 0.90)$

أحجام العينات، وتكون أكثر تفوقاً عن حجم العينة الصغير.

وبالتالي نجد أن المقدرات المقترحة أفضل من باقي المقدرات عند جميع توليفات حجم العينة فيما عدا بعض التوليفات التي يكون فيها مقدر MM المتين هو الأفضل، وذلك عند حجم عينة 20 وعدم وجود ازدواج خططي مع نسب مشاهدات شاذة 10% و 15% مع عدد متغيرات 4. وهناك استثناء ثان عند حجم عينة 40 وعدم وجود ازدواج خططي، وأي نسبة للمشاهدات الشاذة. واستثناء آخر أن يكون مقدر OLS أفضل المقدرات عند عدم وجود كل من الازدواج الخططي والمشاهدات الشاذة مع عينة كبيرة.

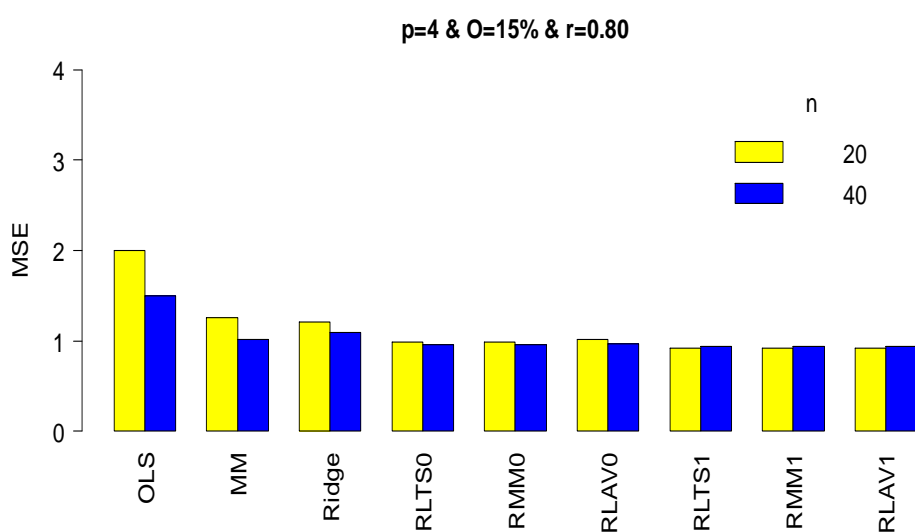
٥-٤ أداء المقدرات وفقاً لحجم العينة n

من جدول (١) ومن الشكلين (٨) و(٩) (على سبيل المثال) للذين يعرضان أداء المقدرات وفقاً لحجم العينة عند التوليفتين

$$(n = 20, \rho = 0.90)$$

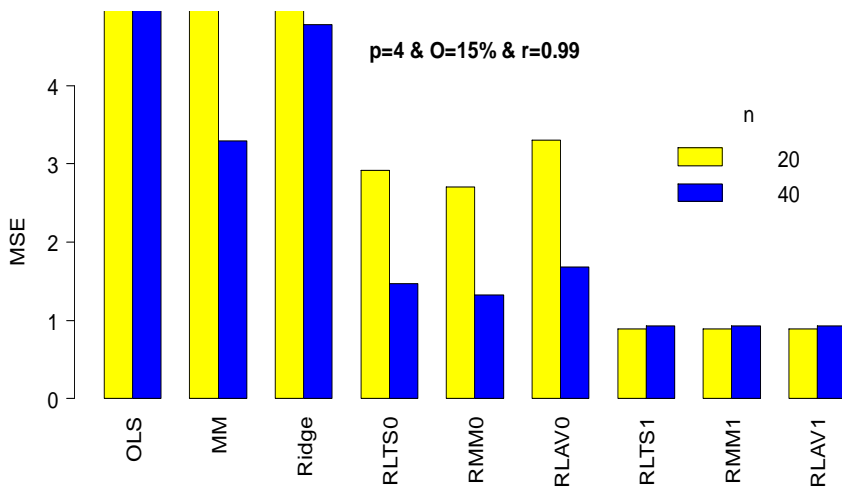
$$(n = 40, \rho = 0.90)$$

حيث تتغير درجة الارتباط، نجد أنه في حالة عدم وجود ازدواج خططي أو وجود ازدواج خططي ضعيف لا يكون لزيادة حجم العينة تأثير ملحوظ على المقدرات. وعند درجات الارتباط الأعلى نجد أن زيادة حجم العينة تؤثر بشكل إيجابي على المقدرات السابقة، بينما نجد أن المقدرات المقترحة لا تتأثر تقريباً بزيادة حجم العينة. وفي نفس الوقت تكون المقدرات المقترحة هي الأفضل عند جميع



شكل (٧): أداء المقدرات وفقاً لحجم العينة n

$$(p = 4, \rho = 15\%, \rho = 0.80)$$

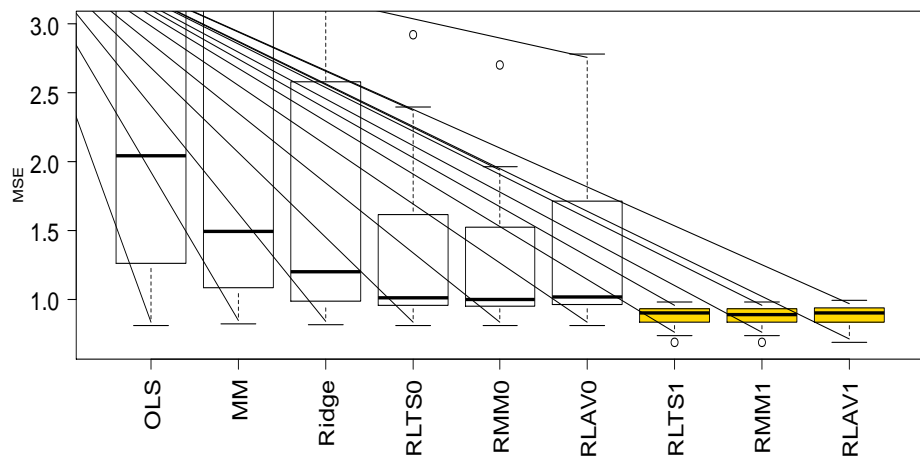


شكل (٨): أداء المقدرات وفقاً لحجم العينة n
($p = 4, \sigma = 15\%, \rho = 0.99$)

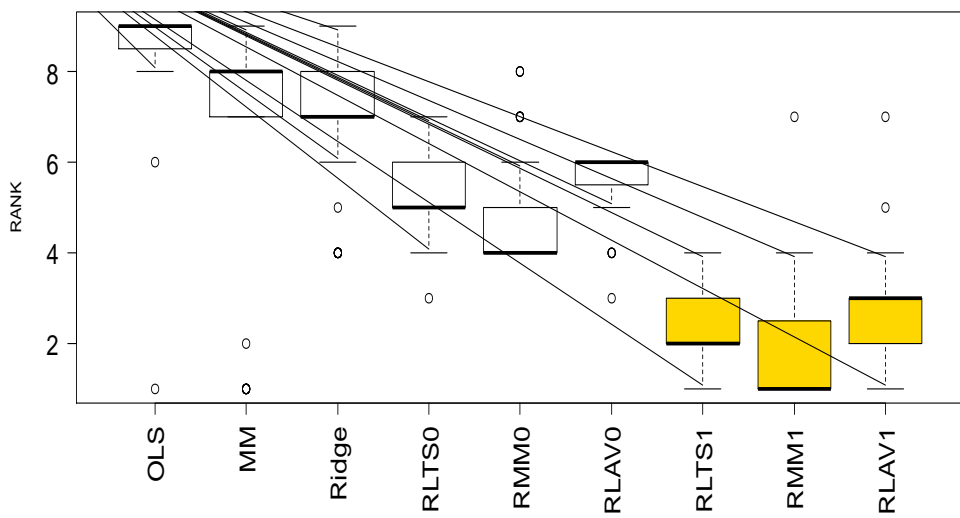
٥- مقارنة بين المقدرات

أيضاً ترتيب المقدرات وفقاً لقيمة MSE بشكل تصاعدي عند كل توليفة من توليفات المحاكاة واعطاء "رتبة" لكل مقدر، بحيث المقدر الذي له أقل MSE داخل التوليفة يأخذ المرتبة "1"، وهكذا حتى يأخذ المقدر صاحب أكبر MSE المرتبة "9".
يعطي جدول (٢) تلك الرتب عند جميع التوليفات، وقد تم تطليل خلايا أفضل ثلاثة مقدرات عند كل توليفة. وتم تمثيل تلك الرتب باستخدام الصناديق البيانية في الشكل (١٠). وبناءً على ما سبق يمكن ترتيب المقدرات بحيث يكون أفضل المقدرات هو هو مقدر RMM1 يليه مقدر RLTS1 ثم مقدر .RLAV1

من الواضح من نتائج المحاكاة وفقاً لكل عامل من عوامل المحاكاة تفوق المقدرات المقترحة عند معظم توليفات المحاكاة. ويمكن أن نصل إلى نفس النتيجة عند مقارنة قيم MSE لجميع المقدرات عند جميع توليفات المحاكاة، وذلك من خلال الشكل (١٠). ويعرض هذا الشكل قيم MSE من خلال الصناديق البيانية، وقد تم قطع المحور الرأسى عند القيمة 3 (يسبب وجود قيمة شاذة كبيرة في قيمة MSE تصل إلى 100.49) حتى يمكن المقارنة بين المقدرات بشكل عام. ويتبين من الشكل تفوق المقدرات المقترحة الثلاثة ولكن قد يكون من الصعب المقارنة بينهم بسبب تقارب قيم MSE. لذلك يمكن



شكل (٩) : قيم **MSE** للمقدرات عند جميع التوليفات



شكل (١٠) : رتب المقدرات عند جميع التوليفات

جدول (٢): رتب المقدرات عند كل توليفة من توليفات المحاكاة

r	prop	n	p	OLS	MM	Ridge	RLTSO	RMM0	RLAV0	RLTS1	RMM1	RLAV1
0.1	0	20	4	6	9	8	4	7	5	1	3	2
0.1	0	40	4	1	2	9	3	8	6	4	7	5
0.1	0	20	8	8	9	7	4	6	5	1	3	2
0.1	0	40	8	8	9	6	7	5	4	2	3	1
0.1	0.05	20	4	9	7	8	5	6	4	2.5	2.5	1
0.1	0.05	40	4	9	1	5	7	8	6	3	4	2
0.1	0.05	20	8	9	8	7	4	5	6	2	1	3
0.1	0.05	40	8	9	7	8	5	6	4	2	1	3
0.1	0.1	20	4	9	1	8	6	7	5	2.5	2.5	4
0.1	0.1	40	4	9	1	7	6	8	5	4	3	2
0.1	0.1	20	8	9	8	7	5	4	6	2	1	3
0.1	0.1	40	8	9	1	8	6	7	5	3	2	4
0.1	0.15	20	4	9	1	8	5	7	6	3	2	4
0.1	0.15	40	4	9	1	8	6	7	5	3.5	3.5	2
0.1	0.15	20	8	9	8	7	5	4	6	2	1	3
0.1	0.15	40	8	9	1	8	5.5	5.5	3	4	2	7
0.8	0	20	4	8	9	4	7	5	6	1	2.5	2.5
0.8	0	40	4	8	9	4	7	5	6	2	3	1
0.8	0	20	8	8	9	7	4	6	5	1	3	2
0.8	0	40	8	8	9	4	7	5	6	3	1	2
0.8	0.05	20	4	9	8	7	5	4	6	2	1	3
0.8	0.05	40	4	9	8	7	5	4	6	1.5	3	1.5
0.8	0.05	20	8	9	8	7	5	4	6	2	1	3
0.8	0.05	40	8	9	8	7	6	4	5	3	1	2
0.8	0.1	20	4	9	8	7	5	4	6	2	1	3
0.8	0.1	40	4	9	7	8	4.5	4.5	6	2	3	1
0.8	0.1	20	8	9	8	7	5	4	6	2	1	3
0.8	0.1	40	8	9	7	8	5	4	6	2	1	3
0.8	0.15	20	4	9	8	7	5	4	6	1	2	3
0.8	0.15	40	4	9	7	8	5	4	6	2	1	3
0.8	0.15	20	8	9	8	7	5	4	6	2	1	3
0.8	0.15	40	8	9	7	8	5	4	6	2	1	3
0.9	0	20	4	8	9	4	7	5	6	3	1.5	1.5
0.9	0	40	4	8	9	4	7	5	6	3	1	2
0.9	0	20	8	8	9	7	5	6	4	2	3	1
0.9	0	40	8	8	9	4	7	5	6	3	1	2
0.9	0.05	20	4	9	8	7	5	4	6	2	1	3
0.9	0.05	40	4	9	8	7	5	4	6	2	1	3
0.9	0.05	20	8	9	8	7	5	4	6	2	1	3
0.9	0.05	40	8	9	8	7	6	4	5	3	1	2
0.9	0.1	20	4	9	8	7	5	4	6	2	1	3
0.9	0.1	40	4	9	7	8	5	4	6	2	1	3
0.9	0.1	20	8	9	8	7	5	4	6	2	1	3
0.9	0.1	40	8	9	7	8	5	4	6	2	1	3
0.9	0.15	20	4	9	8	7	5	4	6	2	1	3
0.9	0.15	40	4	9	7	8	5	4	6	2	1	3
0.9	0.15	20	8	9	8	7	5	4	6	2	1	3
0.9	0.15	40	8	9	7	8	5	4	6	2	1	3
0.99	0	20	4	8	9	4	7	5	6	3	1	2
0.99	0	40	4	8	9	4	7	5	6	3	1	2
0.99	0	20	8	8	9	7	4	6	5	1.5	3	1.5
0.99	0	40	8	8	9	4	7	5	6	3	1	2

0.99	0.05	20	4	9	8	7	5	4	6	3	1	2
0.99	0.05	40	4	9	8	7	5	4	6	2	1	3
0.99	0.05	20	8	9	8	7	5	4	6	2	1	3
0.99	0.05	40	8	9	8	7	6	4	5	3	1	2
0.99	0.1	20	4	9	8	7	5	4	6	2	1	3
0.99	0.1	40	4	9	7	8	5	4	6	2	3	1
0.99	0.1	20	8	9	8	7	5	4	6	2	1	3
0.99	0.1	40	8	9	7	8	5	4	6	2	1	3
0.99	0.15	20	4	9	8	7	5	4	6	2	1	3
0.99	0.15	40	4	9	7	8	5	4	6	1	3	2
0.99	0.15	20	8	9	8	7	5	4	6	2	1	3
0.99	0.15	40	8	9	7	8	5	4	6	2	1	3

٦ - الخلاصة

المقدرات عند كل توليفة من توليفات المحاكاة، وتشير نتائج المحاكاة إلى تفوق المقدرات الثلاثة المقترحة في معظم توليفات الإزدواج الخطى والمشاهدات الشاذة. وقد تفوق مقدر MM المتبين على بعض المقدرات المقترحة في بعض حالات عدم وجود إزدواج خطى مع نسب مختلفة من المشاهدات الشاذة. وأكدت دراسة المحاكاة على أنه عند وجود الإزدواج الخطى مع أى نسبة من المشاهدات الشاذة، تحلى الطرق المقترحة المراتب الثلاث الأولى كأفضل المقدرات، ويمكن القول أن أفضل المقدرات المقترحة هو مقدر RMM1 يليه مقدر RLTS1 ثم مقدر RLAV1.

يعتبر وجود الإزدواج الخطى والمشاهدات الشاذة من أكثر المشاكل تأثيرا في تحليل الانحدار الخطى. وعلى الرغم من تعدد الطرق المتاحة لعلاج كل مشكلة من المشكلتين بشكل منفصل، إلا أنه في الواقع عادة ما تحدث المشكلتان آنها. وكطريقة لعلاج المشكلتين يتم دمج أحد المقدرات المتينة مع أحد مقدرات انحدار ريدج لتشكيل مقدر انحدار ريدج المتين. وقد تم تصميم دراسة محاكاة للمقارنة بين أداء ثلاثة من مقدرات انحدار ريدج المتينة المقترحة وستة مقدرات أخرى، باستخدام معيار متوسط مربعات الخطأ للمقدرات MSE بالإضافة إلى رتب.

المراجع

- [1], Adegoke, A.S., Adewuyi, E., Ayinde, K., and Lukman, A.F. (2016), "A comparative study of some robust Ridge and Liu estimators," *Science World Journal*, 11, 4, 16- 20.
- [2], Al-hassan, Y. (2010), "Performance of new ridge regression estimators," *Journal of the Association of Arab Universities for Basic and Applied Science*, 9, 23-26.
- [3], Alkhamisi, M. A., and Shukur, G. (2007) "A Monte Carlo study of recent ridge parameters," *Communications in Statistics—Simulation and Computation*, 36, 535–547.
- [4], Askin, R. G., and Montgomery, D. C. (1980), "Augmented robust estimators," *Technometrics*, 22, 333-341.
- [5], Barnett, V., and Lewis, T. (1994), *Outliers in statistical data*, 3rd ed., Wiley: Chichester, UK.
- [6], Belsley, D.A. (1991), *Conditioning diagnostics, collinearity and weak data*, Wiley: New York.
- [7], Belsley, D.A., Kuh, E., and Welsch, R.E. (1980), *Regression diagnostics: identifying influential data and sources of collinearity*, Wiley: New York.
- [8], Birkes, D., and Dodge, Y. D. (1993), *Alternative methods of regression*, Wiley: New York.
- [9], Chatterjee, S., and Hadi, A. S. (2006), *Regression Analysis by Example*, Wiley: New Jersey.
- [10], Groß, J. (2003), *Linear regression*, Springer -Verlag Berlin Heidelberg.
- [11], Habshah, M., and Marina, Z. (2007), "A simulation study on ridge regression estimators in the presence of outliers and multicollinearity," *Journal Teknologi*, 47, 59-74.
- [12], Hampel, F. R. (1974), "The Influence Curve and Its Role in Robust Estimation," *Journal of the American Statistical Association*, 69, 346 , 383-393
- [13], Hampel, F. R., Ronchetti, E. M., Rousseeuw, P. J., and Stahel, W. A. (1986), *Robust statistics: The approach based on influence functions*, Wiley: New York.
- [14], Hocking, R. R., Speed, F. M., and Lynn, M. J. (1976), "A class of biased estimators in linear regression," *Technometrics*, 18, 4, 425-437.

- [15], Hoerl, A. E., and Kennard, R. W. (1970 a), "Ridge regression: Biased estimation for nonorthogonal problems," *Technometrics*, 12, 55-67.
- [16], Hoerl, A. E., and Kennard, R. W. (1970 b), "Ridge regression: Applications to non-orthogonal problems," *Technometrics*, 12, 69-82.
- [17], Hoerl, A. E., Kennard, R.W. and Baldwin, K.F., (1975), "Ridge regression: some simulations," *Communications in Statistics*, 4, 105–123.
- [18], Holland, P. W. (1973), "Weighted ridge regression: Combining ridge and robust regression methods," NBER Working Paper Series, Working Paper No. 11, 1-19.
- [19], Khalaf, G., and Iguernane, M. (2016) "Multicollinearity and a ridge parameter estimation approach," *Journal of Modern Applied Statistical Methods*, 15, 2, 400-410.
- [20], Khalaf, G., and Shukur, G. (2005), "Choosing ridge parameter for regression problem," *Communications in Statistics – Theory and Methods*, 34, 1177–1182.
- [21], Kibria, B. M. G. (2003), "Performance of some new ridge regression estimators" *Communications in Statistics-Simulation and Computation*, 32, 419-435.
- [22], Maronna, R.A., Martin, R.D., and Yohai, V.J. (2006), Robust statistics theory and methods, Wiley: New York.
- [23], Muniz, G., and Kibria, B.G. (2009), "On some ridge regression estimators: An empirical comparisons," *Communications in Statistics - Simulation and computation*, 38, 621-630.
- [24], Newhouse, J.P., and Oman, S.D. (1971), "An evaluation of ridge estimators," Rand Corporation, P-716-PR, 1-28.
- [25], Pati, K. D., Adnan, R., Rasheed, B. A., and Alias, M.J. (2016), "Estimation parameters using bisquare weighted robust ridge regression estimator in the presence of multicollinearity and outliers," *AIP Conference Proceedings* 1750, 060-028; doi: 10.1063/1.4954633
- [26], Pati, K. D., Adnan, R., and Rasheed, B. A. (2014), "Ridge least trimmed squares estimators in presence of multicollinearity and outliers," *Nature and Science*, 12, 12, 1-8.

- [27], Pfaffenberger, R. C., and Die-lman, T. E. (1984), "A modified ridge regression estimator using the least absolute value criterion in the multiple linear regression model," Proceedings of the American Institute for Decision Sciences, Toronto, 791-793.
- [28], Pfaffenberger, R. C., and Die-lman, T. E. (1985), "A comparison of robust ridge estimators," Business Economics Section Proceedings of the American Statistical Association, 631-635.
- [29], Ronchetti, E. M. (1987), "Robust C(α)-type tests for linear models," *Sankhya. A*, 49, 1-16.
- [30], Rousseeuw, P. J. (1984), "Least median of squares regression," *Journal of the American Statistical Association*, 79, 871-880.
- [31], Rousseeuw, P. J. (1985), "Multivariate estimation with high breakdown point," in *Mathematical Statistics and Applications*, B (ed. by W. Grossmann, G. Pflug, I. Vincze, and W. Wertz), Dordrecht, Netherlands: Reidel Publishing Company, 283 - 297.
- [32], Rousseeuw, P. J., and Leroy, A. M. (1987), "Robust regression and outlier detection," Wiley: New York.
- [33], Rousseeuw, P.J., and Van Dr-iesen, K. (2006), "Computing LTS regression for large data sets," *Data Mining and Knowledge Discovery*, 12, 29-45.
- [34], Samkar, H., and Alpu, O. (20-10), "Ridge regression based on some robust estimators," *Journal of Modern Applied Statistical Methods*, 9, 2, Article 17.
- [35], Wilcox, R. R. (2010), "Fundamentals of modern statistical methods," 2nd. Edition, Springer, London.
- [36], Yohai, V. J. (1987), "High breakdown point and high efficiency robust estimates for regression," *An-n Statist.* , 15, 642-656.
- [37], Zahari S. M., Zainol M. S., and AL-banna M. I. (2012), "Weighted ridge MM-estimator in robust ridge regression with multicollinearity," *Mathematical Models and Methods in Modern Science*, 124-129.